

III-109 帯荷重による斜面の応力・変形とその解析（第3報）

フジタ工業(株)技術研究室

正員 後藤 菊雄
同 上 ○ 正員 香川 和夫
同 上 正員 中井 照光

1. まえがき

土構造物の応力・変形解析に有限要素法がよく用いられているが、解析を定量的に扱うためには、応力-ひずみ曲線の表示方法、非線形の計算方法、解析の精度など、多くの問題を含んでいる。今回、既報⁽¹⁾⁽²⁾に続き、大型砂箱内での斜面の載荷実験結果を、斜面勾配の差に着目して解析したので報告する。

2. 実験概要

供試体は、片面耐圧ガラスの鋼鉄製砂箱($1.5\text{ m} \times 1.5\text{ m} \times 5.5\text{ m}$)内で、粗成砂(比重2.66、砂分79%)、シルト分15.8%の砂質ローム)を振動締固め機(重量121.6 kg、振動数1450回/分)を用いて、10層の締固めをおこない(平均含水比16%、平均間隙比0.97)、その後所定の斜面勾配($1:1.5$, $1:1$, $1:0.5$)に整型して作成した。

載荷は、応力制御で、リフ角が 60° の位置に載荷板($300 \times 300 \times 1450$ のH-鋼)を用いて、1tonずつ荷重増分で破壊までおこない、各荷重段階の鉛直土圧、地表面変位の測定をおこなった。

3. 有限要素法による非線形解析

解析は、荷重増分法による非線形弾性解析によっておこなった。解析に用いた応力-ひずみ関係式は、松岡らにより提案されているものである。解析上、以下の仮定を設けた。

a) 圧密による体積ひずみの ε_1 、 ε_3 方向への配分比 α_1 、 α_3 は、

$$\alpha_1 = (\sigma_1 - \sigma_3) / (\sigma_1 + \sigma_3), \quad \alpha_3 = (\sigma_1 - 2\sigma_3) / (\sigma_1 + \sigma_3) \quad \text{とする。}$$

b) 供試体は、振動締固めによるとと思われる $C_{mo} = 1.2 \text{ kN/cm}^2$ の先行圧密荷重を受けた過圧密状態と考え、過圧密による粒子拘束力を仮定する。すなわち、図-1で、P点で破壊するものは、正規領域の破壊線の延長上のP'点で破壊することとする。

c) 初期応力は、ポアソン比 $\nu = 0.35$ で計算した有限要素法による弾性解を用いる。

d) 破壊基準として、図-1に示すモール・クーロンの破壊基準を用いる。又、破壊後の弾性係数は、ヤニグ率 $E_f = 5 \text{ kN/cm}^2$ 、ポアソン比 $\nu_f = 0.45$ とする。

4. 実験・解析結果および考察

図-2、図-3に、斜面勾配 $1:1.5$, $1:0.5$ の鉛直方向土圧の分布を実験と解析結果について示す。横軸には、荷重段階を表わし、縦軸には、鉛直土圧 σ_v (自重は含まない)を、等分布荷重強度で除した値を示す。

実験結果では、荷重載荷中心線上のB, E点では、載荷に従い σ_v/σ の値が増加し、応力集中の傾向にあるが、表面に近いA, C点では逆の傾向となる。斜面勾配の急なほど、応力集中の傾向は強くなる。斜面勾配が $1:0.5$

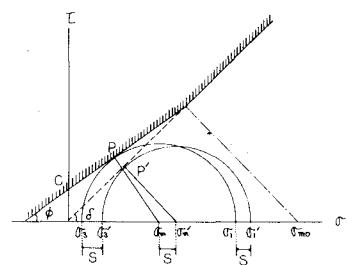


図-1 破壊基準と応力円

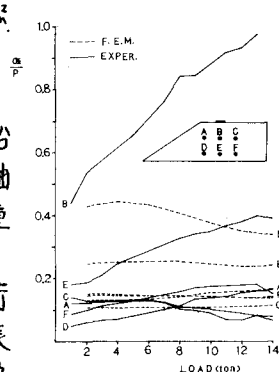


図-2 鉛直応力の変化($1:1.5$)

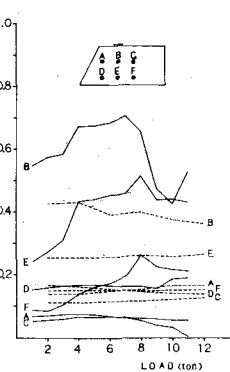


図-3 鉛直応力の変化($1:0.5$)

の場合 6~8 t の荷重で、ピーカーしきものが測定された。解析結果では、千束らの初期の荷重段階では、 σ/σ_0 の値は、ほぼ実験結果を説明するが、その後はあまりあわない。これは解析上 破壊域の弾性係数を一定にしたためと思われる。

図-4 に 解析で得られる荷重載荷にともなう安全率の変化を示す。2 t では、1:1.5 の場合、供試体全体が 安全率 1.5 以上であるが、1:0.5 の場合、載荷板下で既に 1.5 以下となる。6 t では、両方とも破壊域が表わされるが、1:0.5 の方がはるかに大きい。12 t では、1:0.5 の場合 斜面のほとんどが安全率 1.5 以下となり、円弧状の破壊域がリ屈に

進行し、斜面中央部分では、かなりのテンション領域が発生する。1:1.5 の場合、載荷板下から円弧状に破壊域が発生する。更に荷重を載荷すると、1:6 まで破壊域が底部に達し、その後の荷重増加に対し破壊域の幅が拡がっていく。今回の解析では、斜面勾配がゆるくなると最初、破壊の発生する荷重および最終的な崩壊荷重は大きくなるが、破壊形状は 1:1.5、1:0.5 とともにほとんど同一の円弧状となる。図-4 に示した実験結果と比較すると 1:0.5 の場合はよく一致するが、1:1.5 のゆるい斜面の場合、実験結果および剛塑性論的解とは異なる破壊形状を示す。× 解析上、興味深いと思われることは、主動すべり周辺の破壊において、載荷板下のくさび先端附近に発生した破壊域が、まずのり肩に達し、載荷板端に進行していく、次いでのり肩に達し、載荷板端に進行するという傾向がみられることがある。

図-5 に 斜面の垂直方向変位に関して、実験および計算結果を示す。斜面の変形は、鉛直応力の分布に比較し、顯著に斜面勾配の影響を受け、1:0.5 の場合、1:1.5 の数倍の変形を示す。

なお、現在、応力-ひずみ曲線を直接 刚性マトリックスに組み込んで解析を進めており、まとまりしだい報告したいと考えている。

(参考文献) (1) 後藤香川: 第9回土質工学会 (2) 後藤香川・中井: 第10回土質工学会

(3) 松岡: 京大防災年報 1973 (4) 管野・瀬尾・松岡: 京大防災年報 1974

(5) 中瀬・木村・日下部: 第10回土質工学会

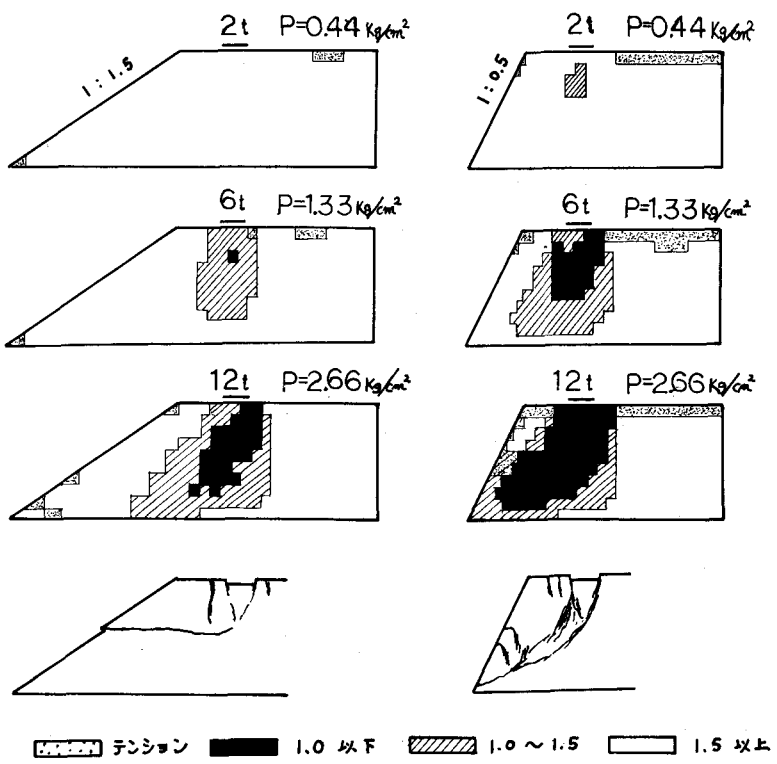


図-4 安全率の変化と破壊形状

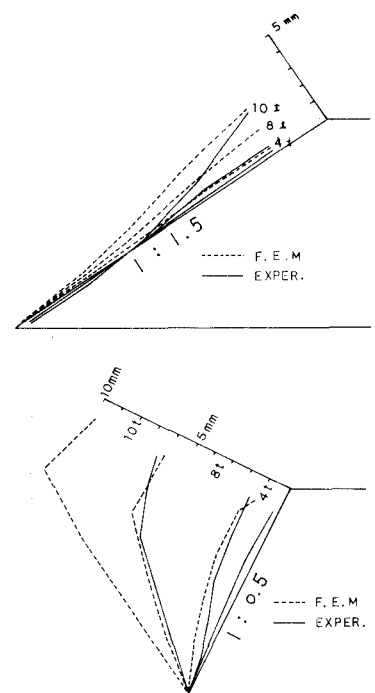


図-5 斜面の垂直方向変位